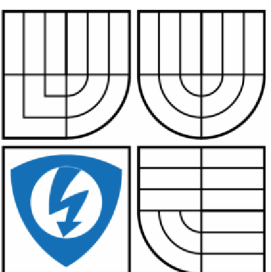


VYSOKÉ UČENÍ TECHNICKÉ V BRNĚ

BRNO UNIVERSITY OF TECHNOLOGY



FAKULTA ELEKTROTECHNIKY A KOMUNIKAČNÍCH
TECHNOLOGIÍ

ÚSTAV AUTOMATIZACE A MĚŘICÍ TECHNIKY

FACULTY OF ELECTRICAL ENGINEERING AND COMMUNICATION

DEPARTMENT OF CONTROL AND INSTRUMENTATION

KONTINUÁLNE MERANIE VODIVOSTI VÝRÁBANÉHO MEDENÉHO VODIČA

CONTINOUS MEASUREMENT OF CONDUCTIVITY PRODUCED COOPER WIRE

BAKALÁRSKA PRÁCA

BACHELOR'S THESIS

AUTOR PRÁCE

AUTHOR

Peter Kozáček

VEDÚCI PRÁCE

SUPERVISOR

Ing. Stanislav Klusáček, Ph.D.

BRNO 2013



Bakalářská práce

bakalářský studijní obor
Automatizační a měřicí technika

Student: Peter Kozáček
Ročník: 3

ID: 136548
Akademický rok: 2012/13

NÁZEV TÉMATU:

Kontinuální měření konduktivity vyráběného měděného vodiče

POKYNY PRO VYPRACOVÁNÍ:

Provedte rešerší metod měření konduktivity vodičů s ohledem na možné využití pro kontinuální měření při provlékání vodiče. Vyberte/navrhněte vhodné metody a rozpracujte je tak, aby byly využitelné pro měření konduktivity vodičů vyráběných provlékáním. Následně navrhnete postup/metodu, která upozorní na nedodržení zadané meze minimální připustné konduktivity vodiče. Vybrané metody experimentálně ověřte a porovnejte výsledky. Práce bude realizována ve spolupráci s UTEE VUT v Brně.

DOPORUČENÁ LITERATURA:

- [1] Senzory v průmyslové praxi, Radislav Martinek : BEN - technická literatura, 2004. 199 s. ISBN 9788073001148.
- [2] Elektronika, M.Frohn a kol. : BEN - technická literatura, 2006. 479 s. ISBN 8073001233.

Dle zadání vedoucího a konzultanta práce.

Termin zadání: 11.2.2013

Termin odevzdání: 27.5.2013

Vedoucí práce: Ing. Stanislav Klusáček, Ph.D.

Konzultanti bakalářské práce: Ing. Martin Friedl


doc. Ing. Václav Jirsík, CSc.
předseda oborové rady



UPOZORNĚNÍ:

Autor bakalářské práce nesmí při vytváření bakalářské práce použít autorská práva třetích osob, zejména nesmí zasahovat nedovoleným způsobem do cizích autorských pravosobnostních a musí si být plně vědom následků porušení ustanovení § 11 a následujících autorského zákona č. 121/2000 Sb., včetně možných trestněprávnických důsledků vyplývajících z ustanovení části druhé, hlavy VI. dlu 4 Trestního zákona č. 40/2009 Sb.

Abstrakt

Moja práca pojednáva o možnostiach merania vodivosti medeného vodiča. Rozoberám v nej základné spôsoby merania vodivosti a ich možnosti využitia pre kontinuálne meranie. V ďalšej časti práce sa zmeriavam na navrhnutie metódy, ktorá by bola najvhodnejšia pre kontinuálne meranie vodivosti. Jednotlivé metódy vychádzajú zo základných fyzikálnych princípov. Dané metódy merania v závere porovnávam z rôznych aspektov dôležitých v priemysle.

Kľúčové slová

Vodivosť, odpor, magnetická indukcia, vírivé prúdy

Abstract

My project is about possibilities of conductivity measurement of copper wire. I focus on basic principles of conductivity measurement and their applicability for continues measurement. Also I focus on proposing methods which would be the most appropriate for continuing measurement of conductivity. Each individual method is based on basic physic principles. I compare these measurement methods from different important industrial point of views in this project.

Key words

Conductivity, resistance, magnetic induction, eddy currents

Bibliografická citácia:

Kozáček P., Kontinuálne meranie vodivosti vyrábaného medeného vodiča. Brno: Vysoké učení technické v Brne, Fakulta elektrotechniky a komunikačných technológií, 2013. 39s.
Vedúci bakalárskej práce bol Ing. Stanislav Klusáček, Ph.D.

Prohlášení

„Prohlašuji, že svou bakalářskou práci na téma Kontinuálne meranie vodivosti vyrábaného medeného vodiča jsem vypracoval samostatně pod vedením vedoucího bakalářské práce a s použitím odborné literatury a dalších informačních zdrojů, které jsou všechny citovány v práci a uvedeny v seznamu literatury na konci práce.

Jako autor uvedené bakalářské práce dále prohlašuji, že v souvislosti s vytvořením této bakalářské práce jsem neporušil autorská práva třetích osob, zejména jsem nezasáhl nedovoleným způsobem do cizích autorských práv osobnostních a jsem si plně vědom následků porušení ustanovení § 11 a následujících autorského zákona č. 121/2000 Sb., včetně možných trestněprávních důsledků vyplývajících z ustanovení části druhé, hlavy VI. díl 4 Trestního zákoníku č. 40/2009 Sb.

V Brně dne: 25. května 2013
.....
podpis autora

Obsah

1.	Úvod.....	7
2.	Teoretický rozbor.....	8
2.1	Elektrický odpor, vodivost.....	8
2.2	Základné pojmy merania.....	10
2.3	Meranie odporu	12
2.4	Med'.....	14
2.5	Cievka	15
2.5.1	Impedancia	15
3.	Návrh meracej metódy	17
3.1	Kelvinova metóda.....	17
3.2	Synchrónna detekcia	17
3.3	Využitie magnetickej indukcie.....	19
3.4	Heydweillerov most	21
3.5	Metóda vírivých prúdov	22
3.5.1	Metóda s prechádzajúcou cievkou.....	23
3.5.2	Metóda s príložnou cievkou	24
3.6	Zariadenie pre bezkontaktné meranie elektrického odporu	25
3.6.1	Výpočet Q faktora.....	26
3.7	Ultrazvuková metóda	27
4.	Realizácia meracej metódy.....	28
4.1	Použitie Kelvinovej metódy.....	28
4.2	Testovanie vírivými prúdmi.....	31
4.2.1	Výpočet cievok.....	33
4.2.1	Meranie	34
4.3	Vplyv teploty	37
5.	Záver.....	38
	Príloha A – Agilent 34420A	40
	Príloha B – Rýchlosť ultrazvuku.....	41

Príloha C – Zapojenie s AD630	42
Príloha D – NI USB 6008	43
Použitá literatúra	45

1. Úvod

Pri výrobe medeného vodiča sa najväčším problémom stáva určenie a dodržanie danej (stanovenej) vodivosti pre danú hrúbku. Metódy, ktoré sa vo väčšine závodov používajú, sú buď nepresné alebo spomaľujú výrobu. Napríklad potreba prerušenia výroby na určitý čas kvôli získaniu vzorky vodiča a jeho následné meranie. Aj keď je zistená veľká odchýlka voči požadovanej hodnote, už je v podstate neskoro. Našou úlohou je vytvorenie metódy (systému) merania, pomocou ktorej by sme danú výrobu zefektívili a zautomatizovali.

Požiadavky firmy sú nasledovné :

- čo najpresnejšie meranie
- Merať kontinuálne (ak to bude možné)
- Automatizované meranie
- Vizualizačný výstup

Daný projekt je robený pre firmu Draka Kabely, s.r.o. v spolupráci s ústavom Teoretickej a experimentálnej elektrotechniky v Brně , FEKT VUT.

2. Teoretický rozbor

2.1 Elektrický odpor, vodivosť

Odpor R je vlastnosť elektrickej súčiastky, rezistora, ktorá obmedzuje tok elektrického prúdu. Energia využitá ako elektrické napätie, ktoré spôsobuje, že súčiastkou preteká elektrický prúd, sa prejaví vo forme tepla, ktoré v nej vzniká. Odpor meriame v ohmoch, značkou jednotky je grécke písmeno omega (Ω). [3]

Elektrický odpor je fyzikálna veličina, ktorá vyjadruje schopnosť materiálu zabraňovať prechodu elektricky nabitých častíc. Je definovaný ako podiel napäcia a prúdu prechádzajúceho predmetom následkom tohto napäcia.

$$R = \frac{U}{I} \quad [\Omega] \quad (1.0)$$

Ohmov zákon pre časť elektrického vodiča: elektrický prúd pretekajúci vodičom je priamo úmerný rozdielu elektrických napäti na koncoch vodiča a nepriamo úmerný elektrickému odporu vodiča:

$$I = \frac{U}{R} \quad [A] \quad (1.1)$$

Merný elektrický odpor ρ alebo rezistivita alebo špecifický elektrický odpor je fyzikálna veličina, vyjadrujúca elektrický odpor vodiča dĺžky 1 m o priereze 1 m². Merný elektrický odpor je materiálová konštanta, charakterizujúca elektrickú vodivosť látky. Čím väčší je merný elektrický odpor, tým menšia je vodivosť danej látky.[3]

Základná jednotka merného elektrického odporu je [$\Omega \cdot m^2 \cdot m^{-1}$] (ohmmeter štvorcový/meter), po vykrátení [$\Omega \cdot m$] a určuje ho vzťah:

$$\rho = \frac{RS}{l} \quad [\Omega/m] \quad (1.2)$$

kde R je elektrický odpor vodiča [Ω], S je obsah kolmého prierezu [m^2] a l je dĺžka vodiča [m].

Závislosť merného elektrického odporu na teplote určuje vzťah:

$$\rho = \rho_0(1 + \alpha\Delta t) \quad [\Omega/m] \quad (1.3)$$

kde ρ_0 je počiatočný merný odpor, Δt je rozdiel teplôt a α je teplotný súčinitel elektrického odporu.

Prevrátená hodnota merného elektrického odporu je merná elektrická vodivosť (konduktivita):

$$\gamma = \frac{1}{\rho} \quad [S/m] \quad (1.4)$$

AK poznáme dĺžku, prierez a merný elektrický odpor vodiča z homogénneho materiálu, jeho odpor vypočítame zo vzťahu:

$$R = \rho \frac{l}{S} \quad [\Omega] \quad (1.5)$$

l – dĺžka vodiča (m)

s – prierez vodiča (m^2)

ρ – merná vodivosť (Ω/m^2)

2.2 Základné pojmy merania

Meraním rozumieme súbor činností, ktorých je cieľom stanoviť hodnotu danej veličiny. Do merania zahŕňame experimentálne postupy a rôzne výpočty.

Meracia metóda je logická postupnosť všeobecne opísaných operácií použitých pri uskutočňovaní merania[3].

Rozdelenie meracích metód[3]:

1. Priame a nepriame :
 - **priame** - vychádzajú z definície meranej fyzikálnej veličiny
 - **nepriame** – sa hodnota meranej veličiny sa získa meraním iných veličín funkčne viazaných na danú veličinu
2. Absolútne a relatívne :
 - **absolútne** - poskytujú priamo meranú číselnú hodnotu meranej veličiny
 - **relatívne** - udávajú podiel dvoch veličín toho istého druhu, pričom hodnota jednej z porovnávaných veličín musí byť známa
3. Kontaktné a bezkontaktné :
 - **kontaktné** - s meranou veličinou(objektom) máme priamy kontakt
 - **bezkontaktné** - s meranou veličinou(objektom) nemáme priamy kontakt

Hodnotu meranej veličiny získanej pri meraní nemôžeme určiť s absolútou presnosťou. Nameraná hodnota je buď menšia alebo väčšia, ako skutočná hodnota - hovoríme o chybe merania.

Podľa spôsobu výskytu rozdeľujeme chyby na[3]:

- **Systematické (Sústavné) chyby** - sú zapríčinené nepresnosťou meracieho prístroja a použitej meracej metódy. Ich veľkosť je zvyčajne známa. Preto sa dajú účinne eliminovať korekciou výsledku.
- **Náhodné chyby** - vznikajú z náhodných príčin, občas - nepravidelne. Sú zvyčajne zapríčinené vonkajšími vplyvmi, napr. vplyvom zmeny teploty a pod.
- **Hrubé chyby** - vznikajú nepozornosťou - nesprávnym odčítaním z prístroja, zlým zápisom do tabuľky hodnôt a pod.

Podľa spôsobu vyjadrenia sa chyby rozdeľujú na:

- Absolútne chyby
- Relatívne chyby

Absolútна chyba merania - je algebrický rozdiel medzi výsledkom merania a konvenčne pravou hodnotou meranej veličiny. Má rovnakú jednotku ako meraná veličina, môže mať aj zápornú hodnotu.

Relatívna chyba merania - je podiel absolútnej chyby merania a konvenčne pravej hodnoty meranej veličiny. Je to len číslo resp. hodnota v percentách, má kladnú hodnotu.

Chyby meracích prístrojov - patria medzi sústavné chyby. Pôvod majú v konštrukcii prístrojov alebo v konečnom delení stupnice. Určujeme pri nich presnosť meracieho prístroja (maximálna dovolená odchýlka meracieho zariadenia).

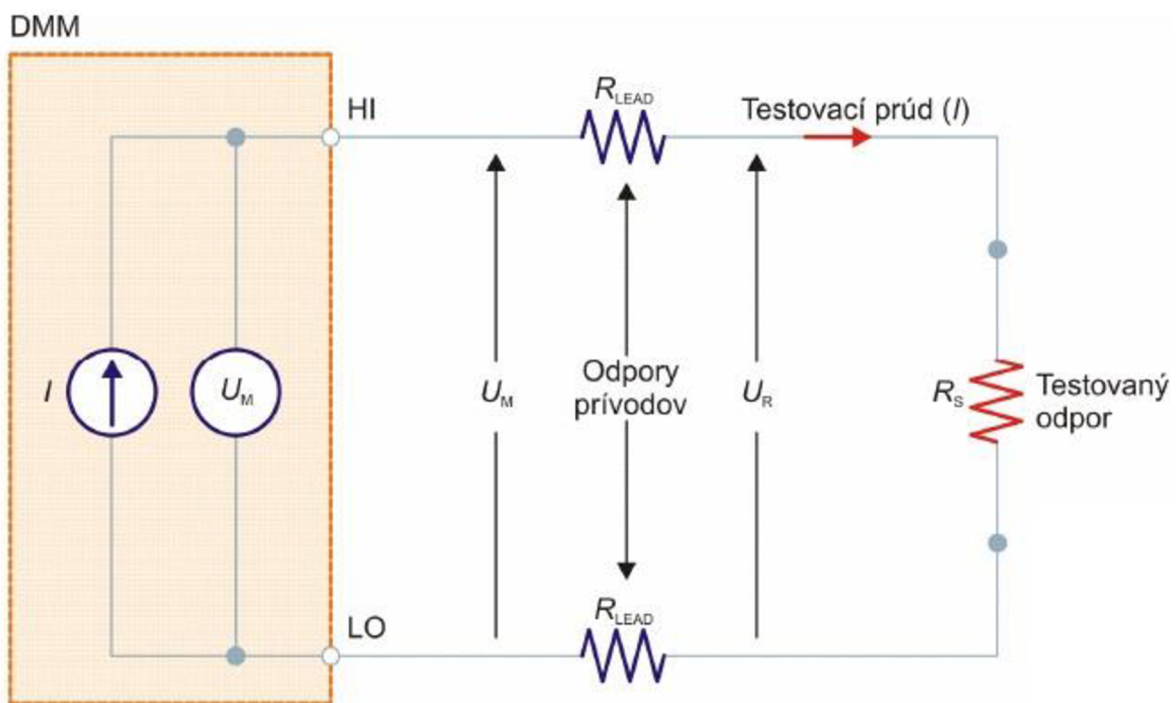
Chyby meracích prístrojov :

- a) z triedy presnosti - je číselná hodnota, ktorá udáva, že chyba (neistota) merania je menšia ako p (%) hodnoty zodpovedajúcej celej stupnici v danom rozsahu prístroja
- b) z hodnoty najmenšieho dielika - pri chybe merania vznikajúcej z konečného delenia stupnice prístroja

2.3 Meranie odporu

Na meranie hodnôt elektrických odporov sa používajú ohmmetre. Využívajú elektromechanické princípy (elektrostatické, elektrodynamické, elektromagnetické a elektrotermálne ohmmetre) prípadne elektronické princípy.

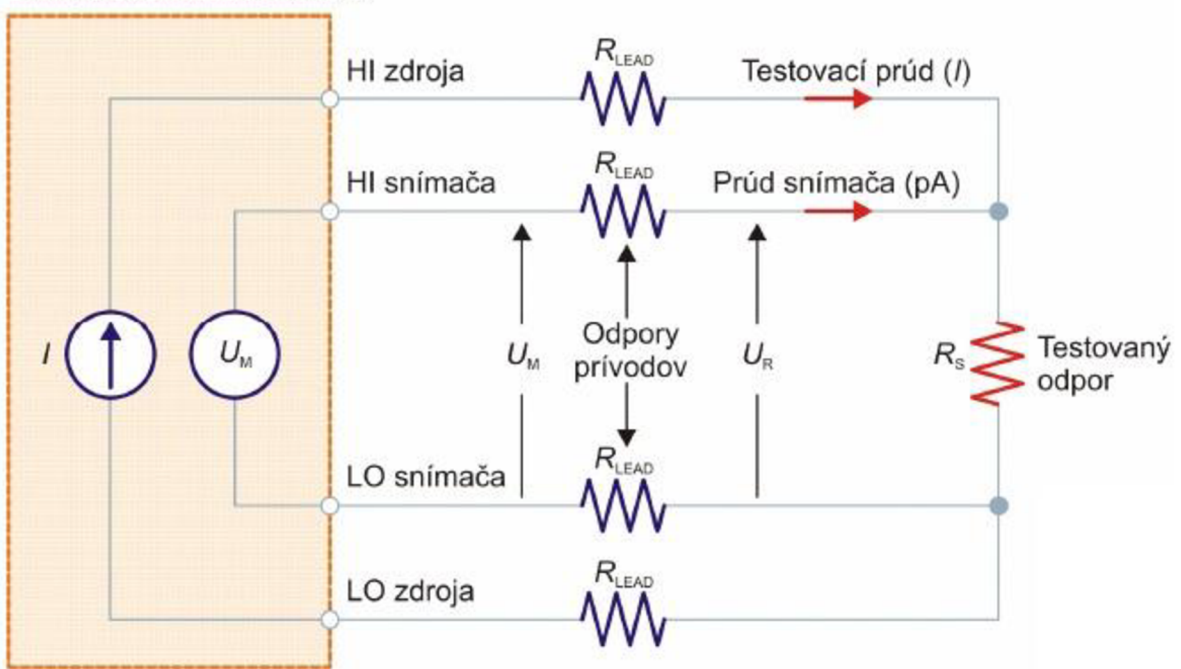
Na merania odporu v obvyklom rozsahu $>10\ \Omega$ sa všeobecne používa dvojvodičová metóda (obr. 1). Testovací prúd preteká zo zdroja cez testovacie prívody a testovaný rezistor R_s . Číslicový multimeter meria napätie U_M vznikajúce na rezistore R_s a na dvoch prívodoch R_{LEAD} . Pretože testovací prúd I spôsobuje síce malý, ale na presné meranie dostatočne významný napäťový úbytok na prívodných vodičoch, merané napätie U_M sa nezhoduje s napäťom U_R na testovanom rezistore. Typické hodnoty odporu prívodov bývajú v rozsahu od $1\ m\Omega$ až do $10\ m\Omega$.



Obrázok 1:Dvojvodičová metóda merania odporu [3]

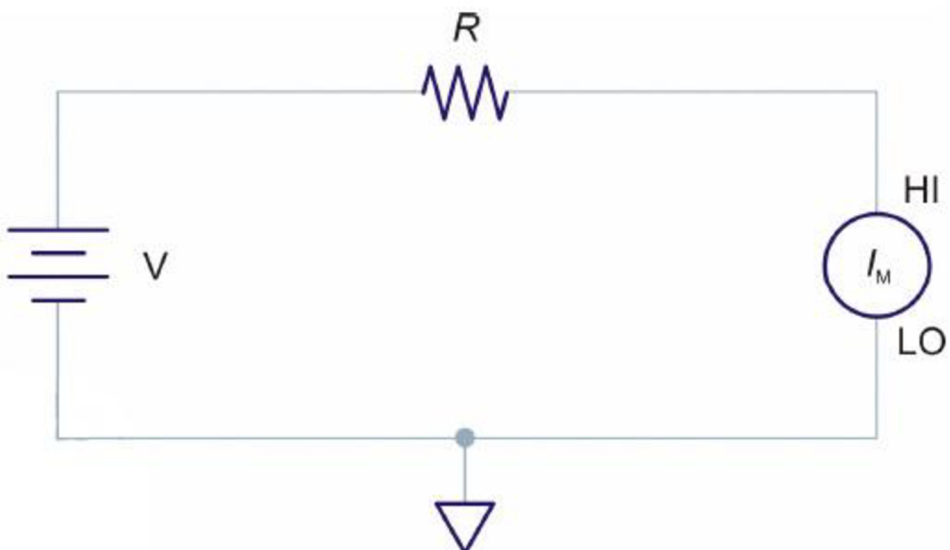
Pri presnejších meraniach odporu sa všeobecne dáva prednosť používaniu štvorvodičovej Kelvinovej metódy (obr. 2). Testovací prúd I tečie cez testovaný rezistor R_s a prívody od zdroja prúdu. Napätie U_M na testovanom rezistore sa meria cez meracie prívody. V dôsledku vysokej hodnoty vstupného odporu číslicového multimetra je merané napätie U_M prakticky identické s napäťom U_R na testovanom rezistore R_s .

DMM alebo mikroohmmeter



Obrázok 2:Štvorvodičová metóda merania odporu [3]

Ak sa majú merať hodnoty odporu rezistorov $>10^9 \Omega$, merania sa obvykle vykonávajú pomocou metódy konštantného napäťa a elektrometrických ampérmetrov. Zdroj konštantného napäťa U je zapojený v sérii s testovaným rezistorom R a elektrometrickým ampérmetrom I_M (obr. 3). Pretože úbytok napäťa na elektrometrickom ampérmetri je zanedbateľný, prakticky celá hodnota napäťa je na odpore R . Výsledný prúd sa meria ampérmetrom a hodnota odporu sa vypočíta podľa Ohmovho zákona $R = U/I$.



Obrázok 3:Zapojenie pre meranie veľkých odporov [3]

2.4 Med'

Med' (cuprum) je chemický prvok v Periodickej tabuľke prvkov, ktorý má značku *Cu* a protónové číslo 29. Med' je ušľachtilý nealotropický kov s kockovou, plošne stredenou kryštálovou sústavou červenej farby. Má vysokú tepelnú vodivosť, tvárnosť za tepla aj studena a dobrú odolnosť proti korózii.

Med' sa na technické účely využíva ako čistý kov (asi 55 % produkcie), aj ako zlatina s rôznymi prvkami (zvyšok). Až 75 % medených výrobkov sa použije v elektrotechnike, ďalej nasleduje strojárstvo, potravinárstvo a chemický priemysel. Používa sa napríklad pri výrobe drôtov, plechov, potrubia a mincí, v poľnohospodárstve pri ošetrovaní chorôb plodín, na ochranu dreva, kože a tkanív. Z dôvodu jej vysokej elektrickej a tepelnej vodivosti sa tiež používa ako metabolit. Bežná medná soľ ako sulfát, uhličitan, kyanid, oxid a sulfid sa používa ako fungicíd, zložka v keramike a pyrotechnike, pre pokovovanie elektrolytov ako aj ďalšie aplikácie v priemysle. Zlatiny medi, bronz a mosadz, sa používajú na výrobu prístrojov a náradia v rozličných odvetviach.

Technická med'

- surová hutnícka med' obsahuje len 94 až 97 % *Cu*,
- hutnícka med' môže dosiahnuť čistotu až 99,85 % *Cu*, vyrába sa pyrometalurgickou rafináciou surovej hutníckej medi,
- elektrovodná med' alebo katódová med' dosahujú až 99,95 % *Cu*, vyrába sa elektrolytickou rafináciou,
- najčistejšia med' s obsahom až 99,999 % *Cu* sa vyrába rafináciou vo vákuu z katódovej medi,
- špeciálne na zváranie sa využíva bezkyslíková med', odolná proti vodíkovej chorobe.

Parametre medi:

Merný odpor : $1.75\mu\Omega/\text{cm}$

Teplotný koeficient odporu : 0.0068 K^{-1}

Relatívna permeabilita : 0.999 990 (cca 1)

2.5 Cievka

Je pasívny prvok elektronického obvodu, ktorého vlastnosťou je indukčnosť. Indukčnosť cievky L je schopnosť, pri ktorej sa časovou zmenou elektrického prúdu prechádzajúceho cievkou indukuje na jej svorkách napätie. Výpočet indukčnosti cievok sa vykonáva podľa vzorcov ktoré vychádzajú zo základného vzťahu.

$$L = N^2 \lambda \quad [H] \quad (1.6)$$

N - počet závitov cievky

λ - magnetická vodivosť - súvisí s vyhotovením a tvorom cievky

$$\lambda = \mu_0 \mu_r \frac{S}{l} \quad [-] \quad (1.7)$$

μ_0 - permeabilita vakuu

μ_r - relatívna permeabilita

S - prierez jadra cievky

l - dĺžka cievky

Charakteristické vlastnosti cievky sú:

- indukčnosť
- činiteľnosť; vyjadruje straty vzniknuté v cievke

Cievka môže byť:

- bez magnetického jadra
- s magnetickým jadrom

2.5.1 Impedancia

Impedancia je zdanlivý odpor elektrotechnickej súčiastky a fázový posun napäcia oproti prúdu pri prechode harmonického striedavého elektrického prúdu danej frekvencie. Impedancia je základná vlastnosť, ktorú potrebujeme vedieť pre analýzu striedavých elektrických obvodov.

Značka: Z

Základná jednotka: ohm $[\Omega]$

$$\text{Výpočet: } Z = R + jX \quad (1.8)$$

kde R je rezistencia (el. odpor), X je reaktancia prvku.

Polárny zápis: $Z = |Z|e^{j\varphi}$ (1.9)

, kde $|Z|$ je veľkosť a φ je fáza.

Impedancia odporu

$$Z = R \quad (2.0)$$

kde R je rezistencia tzv. ideálneho odporu (rezistora).

Impedancia cievky

$$Z = j\omega L \quad (2.1)$$

, kde L je indukčnosť tzv. ideálnej cievky (induktora) a ω je uhlová rýchlosť.

3. Návrh meracej metódy

Pri meraní vodivosti vychádzame zo vzťahu 1.4, kde medzi vodivosťou a odporom je priama úmera. Preto ďalej sa budeme zameriavať na meranie odporu (prepočtom získame vodivosť). Pre meranie odporov sa v praxi používajú hlavne dve metódy. Meranie pomocou ohmmetra, kde získame priamo hodnotu, alebo meranie pomocou volt-ampérovej charakteristiky (nepriama). Pri nepriamej metóde môžeme rozlišovať meranie dvojvodičové a štvorvodičové (existujú však aj trojvodičové, päťvodičové). Vzhľadom k tomu, že štvorvodičové meranie je presnejšie a najviac používané, tak sa budeme zaoberať ním. Jedná sa o kontaktnú alebo tiež označovanú ako deštruktívnu metódu.

3.1 Kelvinova metóda

Pre meranie Kelvinovou metódou použijeme zapojenie na Obrázok 2. Ako merací prístroj použijeme Agilent 34420A, ktorý má možnosť prepojenia s PC cez zbernicu GPIB. Vzhľadom k tomu, že sa nám vodič bude pohybovať, musíme si danú metódu trochu upraviť. Ako prípojné body použijeme kladky. Sústavu kladiek musíme navrhnúť tak, aby bol čo najlepší kontakt s vodičom a zároveň nebola príliš znížená rýchlosť, aby nemohlo nastáť poškodenie vodiča.

Pre návrh kladiek máme dve možnosti :

1. Použiť pohybujúcu sa kladku na ktorú pomocou uhlíkových kefiek budeme prenášať kontakt s meraným vodičom.
2. Použiť pevnú kladku. Prináša to však väčšie požiadavky na vlastnosti kladky (minimálne trenie, veľmi malý odpor v oblasti styku).

3.2 Synchrónna detekcia

Ďalšou metódou ktorá sa radí medzi kontaktné metódy je synchrónna detekcia. Táto metóda sa využíva pre meranie veľmi malých odporov. Synchrónna detekcia je jednoduchá a spoľahlivá metóda, ktorá môže byť použitá na získanie malých signálov z okolitého šumu (príjem signálov v rádiotechnike, spracovanie signálov so silným rušením). Vyžaduje referenčný signál s presne danou frekvenciou a fázou.

Blok synchrónnej detekcie pozostáva z niekoľkých hlavných časťí:

- Detekcia
- Zosilnenie
- Demodulácia

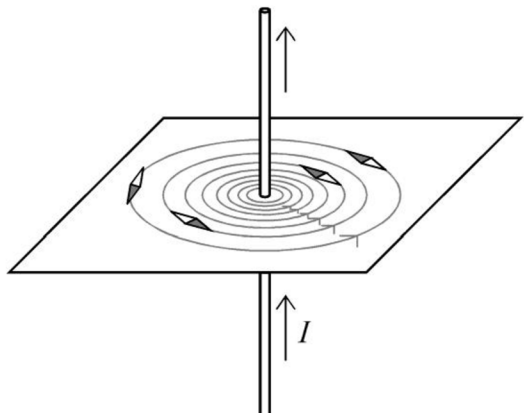
- DP filtrácia

Pre synchrónnu detekciu sa využíva zapojenie(Príloha C – Zapojenie s AD630) s integrovaným obvodom AD630 od Analog Devices.

Nevýhodou Kelvinovej metódy a synchrónnej detekcie je že k meraniu potrebujeme kontakt(kontaktné metódy). Týmto kontaktom nám pribúda ďalší odpor a tým sa stáva meranie nepresnejšie. Na druhej strane po technickej realizácii sú jednoduché a ľahko obsluhovateľné. Mernú vodivosť získavame priamo bez žiadnych ďalších väčších prepočtov. Vzhľadom k tomu, že chceme dosiahnuť čo najoptimálnejšie meranie budeme sa ďalej zaoberať metódami bezkontaktnými(nedeštruktívnymi).

3.3 Využitie magnetickej indukcie

Magnetická indukcia B je vektorová veličina charakterizujúca magnetické pole. Jednotkou magnetickej indukcie je Tesla (T). Číselne sa táto jednotka rovná sile $F=1N$, ktorá pôsobí na jednotku dĺžky priameho vodiča s pretekajúcim prúdom $I=1A$ a orientovaného kolmo k smeru B .



Pre výpočet magnetickej indukcie vychádzame z Ampérovho zákona.

Ampérov zákon:

$$\oint B dl = \mu I_c \quad [11] \quad (2.2)$$

Obrázok 4 :Magnetická indukcia [11]

V našom prípade je krivka obvod kružnice, teda $l=2\pi r$. Prúd I_c poznáme a permeabilitu tiež. Vzťah teda upravíme :

$$B = \frac{\mu I_c}{2\pi r} \quad [T] \quad (2.3)$$

$\mu_0 * \mu_r = \mu$ - permeabilita

Permeabilita (z lat. priepustnosť) je fyzikálna veličina udávajúca mieru magnetizácie prostredia (materiálu) v dôsledku pôsobiaceho magnetického poľa.

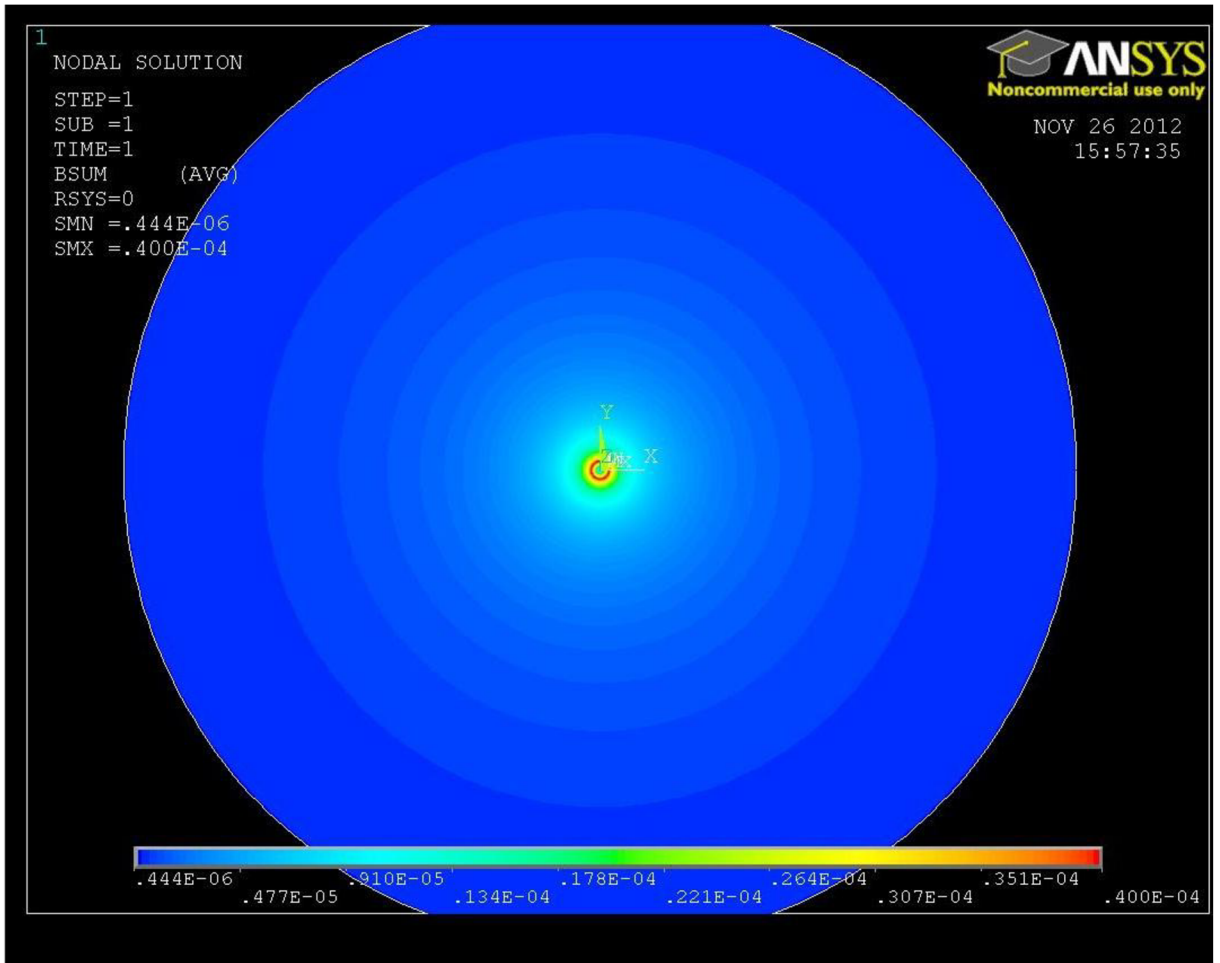
Permeabilita vákua (μ_0) je prírodná konštantă, ktorej hodnota je $\mu_0=4\pi*10^{-7}$.

Relatívna permeabilita (μ_r) je číslo udávajúce koľkokrát je dané prostredie z magnetického hľadiska odlišné od vákua. (Med' - 0,999 990)

Pre náš prípad budú všetko konštanty okrem prúdu prechádzajúceho vodičom, ktorý sa bude meniť s mernou vodivostou vodiča. Závisí na čistote materiálu. Čím čistejší je materiál, tým vyššia vodivosť. Ak budeme voliť pretekajúci prúd rádovo v jednotkách ampérov a vzdialenosť od vodiča čo možno najmenšiu, tak výsledná magnetická indukcia bude v oblasti μT .

Pre overenie našich teoretických predpokladov si vytvoríme model vodiča, kde budeme môcť odsimulovať závislosť mernej vodivosti a magnetickej indukcie. Pre túto simuláciu použijeme software Ansys.

Teoreticky sme si vypočítali hodnotu magnetickej indukcie pre konkrétny typ vodiča. Priemer nášho vodiča je 15mm púšťame ním prúd 1,5A. Magnetická indukcia $B=4 \cdot 10^{-5} T$.



Obrázok 5: Magnetická indukcia v okolí vodiča

Naša teoreticky vypočítaná hodnota magnetickej indukcie sa zhoduje so našim modelom v Ansysse. Daný vzťah si upravíme tak, aby v ňom vystupovala merná rezistivita vodiča.

$$B = \mu \frac{\frac{U}{R}}{2\pi r} = \mu \frac{\frac{U}{\rho \frac{l}{s}}}{2\pi r} \quad [T] \quad (2.4)$$

l – dĺžka daného vodiča (úseku) na ktoré sa vzťahuje meranie

s – prierez daného vodiča

ρ – merná rezistivita vodiča (medi)

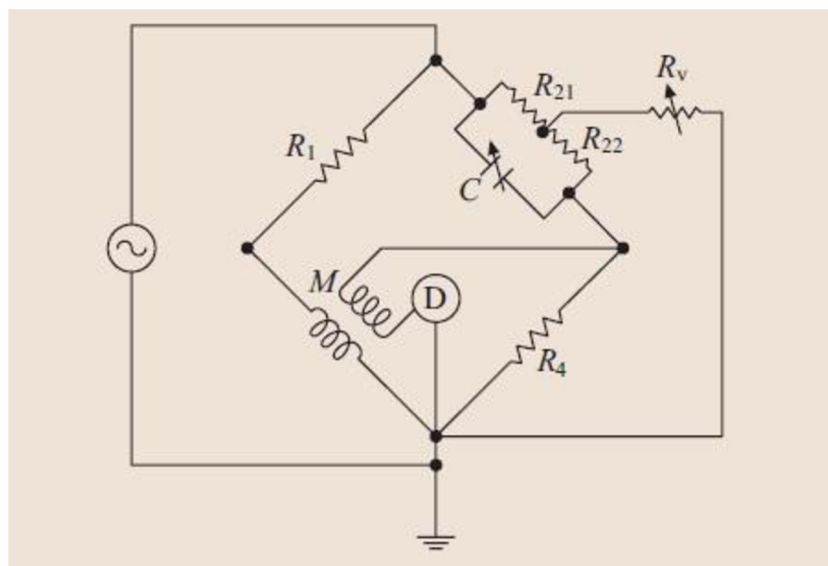
3.4 Heydweillerov most

V zásade metódy merania elektrickej vodivosti môžeme rozdeliť do dvoch častí[5]. Pomocou merania jednosmerného (DC) alebo striedavého prúdu (AC). Aplikácie sa nachádzajú v niekoľkých oblastiach. ako napr. skúšanie materiálu či tam sú vzduchové medzery, meranie čistoty kovu (napr. med', hliník).

Striedavé elektromagnetické polia môžu preniknúť do kovových materiálov a tak vznikajú vírivé prúdy v materiáli. V prípade že testovaný materiál považujeme za ideálny induktor, vírivé prúdy spôsobujú že induktor nie je ideálny ale dochádza k magnetickým stratám. Tieto straty môžu byť merateľné ako rezistívna časť induktora, a z rezistivity môže vypočítať vodivosť . Z dvojdimenzionálnej teórie táto rezistencia R_m môže byť odvodená ako nie reálna rezistencia, ale ako energetická strata predstavovaná rezistivitou.

Táto meracia metóda sa nazýva Heydweillerov most[5]. Zapojenie pozostáva zo vzájomnej indukčnosti M s vinutiami N , dva pevné odpory R_1 a R_4 , a vyrovnávací obvod R_{21} , R_{22} , C , a R_v . induktor je toroidného tvaru. Môže byť otvorený, prstencového tvaru šírky $b = 80$ mm, hrúbka $d = 10$ mm, a centrálny obvod $l = 320\pi$ mm. Od zmeny odporu R_v treba vyvážiť most, R_m je určená a vodivosť môže byť vypočítaná podľa vzťahu :

$$\sigma = \frac{2\omega(b+d)^2\mu_0N^4}{R_m^2l^2} \quad [s] \quad (2.5)$$



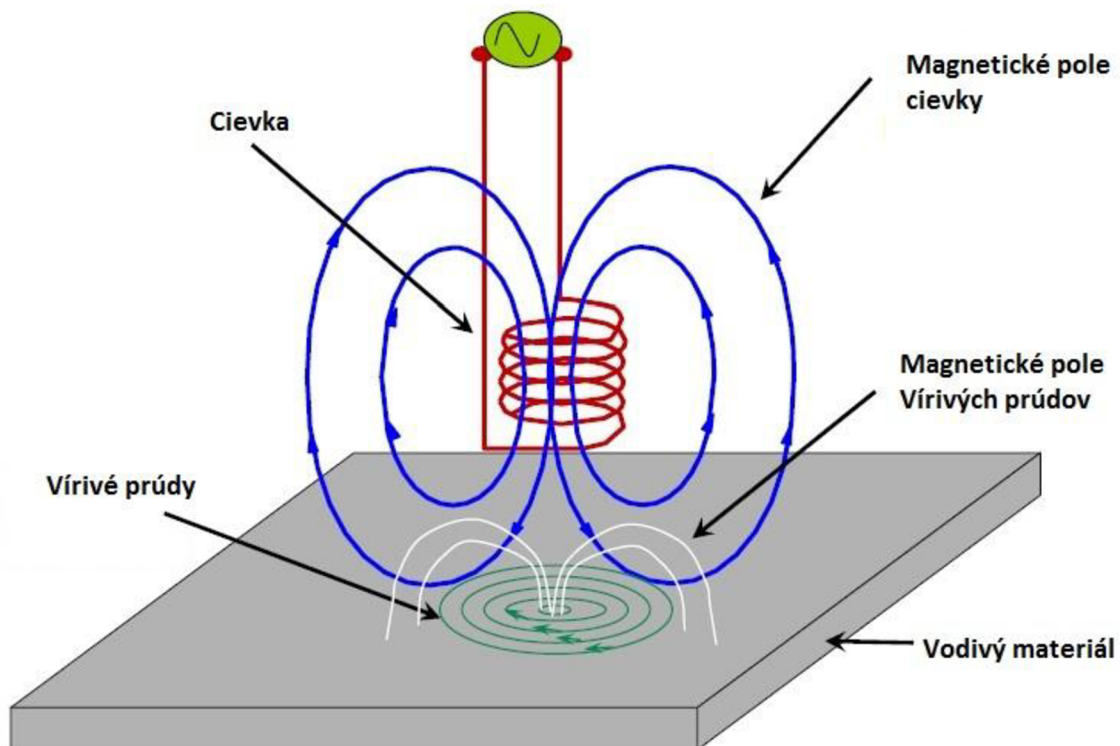
Obrázok 6: Heydweillerov most [5]

3.5 Metóda vírivých prúdov

Metóda vírivých prúdov je založená na stanovení fyzikálnych vlastností materiálu pomocou striedavého magnetického poľa. Ak prechádza striedavý magnetický tok telesom, indukuje sa v ňom elektromagnetická sila a vznikajú prúdy, ktoré nazývame vírivými prúdmi.

Základom metódy je, že hustota a rozloženie indukovaných vírivých prúdov v skúšanom telesu závisí od fyzikálnych vlastností a geometrii magnetovaného telesa. Vírivé prúdy v skúšanom telesu sú indikované striedavým magnetickým poľom cievky, ktorou preteká striedavý prúd.

Pomocou magnetoinduktívnej metódy môžeme nedeštruktívne a veľmi rýchlo kontrolovať také vlastnosti materiálu ako je chemické zloženie, tvrdosť, pevnosť, štruktúra, elektrická vodivosť alebo permeabilita.



Obrázok 7: Vírivé prúdy -Príložná cievka

Typy sond[4]

Sondy delíme: a) podľa orientácie k materiálu

- Príložné
- Prechádzajúce

b) podľa usporiadanie vinutia

- absolútne
- differenčné
- absolútne reflexné
- differenčné reflexné
- špeciálne

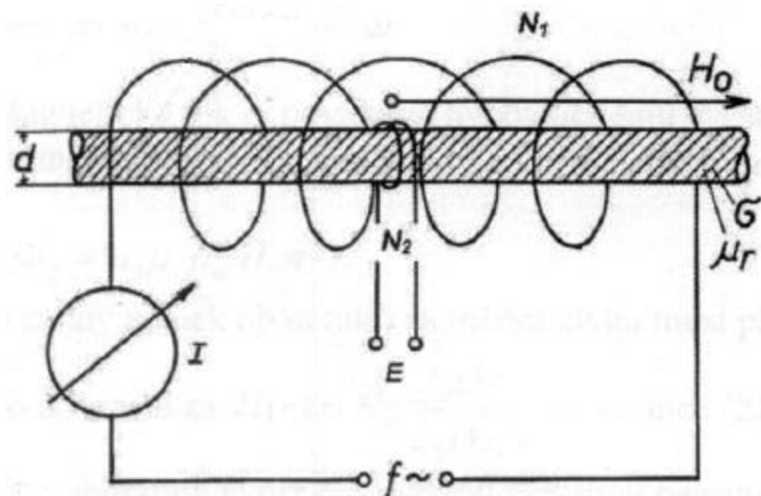
Vzhľadom k tomu, že diferenciálne zapojenie cievok sa používa kvôli potlačeniu vplyvu nehomogénnych vlastností materiálu (konduktivita a permeabilita), použijeme pre naše meranie absolútne sondy (popr. odrazové sondy). Pri našom meraní budeme tiež potrebovať sondu, ktorá bude merať vzdialenosť od sondy, rýchlosť ďahaného drôtu a teplotu prostredia.

Vzhľadom k typu sond môžeme metódu vírivých prúdov rozdeliť na dve skupiny :

- a. Metóda s prechádzajúcou cievkou
- b. Metóda s príložnou cievkou

3.5.1 Metóda s prechádzajúcou cievkou

Kontrolovaný materiál prechádza meracou cievkou s dvojitým vinutím – magnetizačným N_1 a snímaným N_2 . Primárne magnetizačné vinutie N_1 je napájané striedavým prúdom, vytvárajúcim striedavé magnetické pole. Spätným pôsobením magnetického pole vírivých prúdov na pôvodne pole, vzniká magnetické pole výsledné, ktoré indukuje v snímacej cievke napätie, ktorého veľkosť je daná fyzikálnymi vlastnosťami materiálu, geometrickým tvarom cievok a budiacou frekvenciou.



Obrázok 8: Metóda vírivých prúdov -Prechádzajúcou cievkou [9]

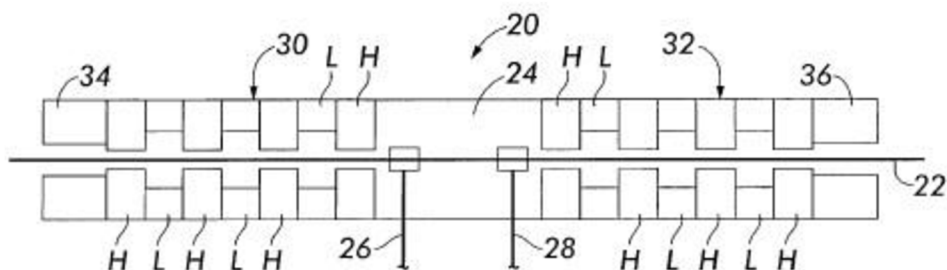
3.5.2 Metóda s príložnou cievkou

S rastúcim priemerom skúšaného materiálu klesá u prechádzajúcej cievky citlivosť na trhliny. Požiadavok lokálnej indikácie defektu na obvodu skúšaného telesa vedie k ďalšej metóde v oboru vírivých prúdov - metóda s príložnou cievkou. V tomto prípade cievka napájaná striedavým prúdom sa radiálne prikladá k povrchu skúšaného telesa. Magnetické pole od vírivých prúdov späťne ovplyvňuje vlastnosti príložnej cievky - spôsobuje zmenu jej impedancie.

3.6 Zariadenie pre bezkontaktné meranie elektrického odporu

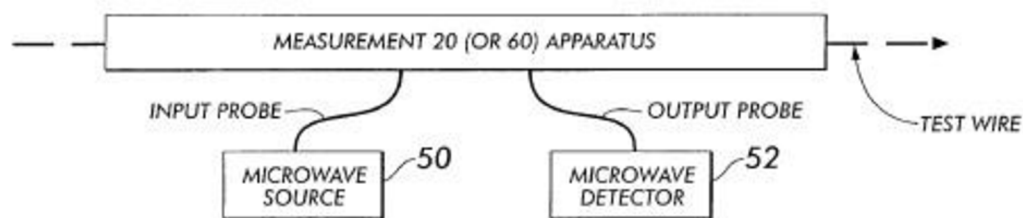
Ďalšia metóda, ktorá bude popisovaná v americkom patente US5923175 (A) — 1999-07-13. Daný patent popisuje možnosť bezkontaktného merania vodivosti, ktoré sa využíva v rôznych zariadeniach.

Na obr. 9 je zobrazený prístroj pre bezdotykové meranie elektrického odporu[10] na jednotku dĺžky vodiča(označený 22), napr. drôtu alebo kábla. Skúšobný vodič je usporiadaný ako stredný vodič koaxiálnej dutiny(konštrukcie 20). Dané usporiadanie je určené na meranie elektrického odporu na jednotku dĺžky a malého odporu v rozmedzí $1-100\Omega/m$. Okrem vstupnej sondy (26) a výstupnej sondy (28) sa tu nachádza impedančný transformátor (30, 32) , na opačných stranách sa nachádza feritová pasca (34, 36).



Obrázok 9 :Mechanické prevedenie [10]

Feritové pasce a impedančné transformátory slúži k minimalizácii poškodeniu elektrických meraní odporu v dôsledku elektrických alebo fyzikálnych javov, ktoré sa môžu nachádzať v prostredí mimo zariadenia.



Obrázok 10: Blokové zapojenie [10]

Na obr. 10 je schematický blokový diagram znázorňujúci zariadenie pre meranie elektrického odporu na jednotku dĺžky. Bloková schéma obsahuje mikrovlnný zdroj (50) a mikrovlnný detektor(52), ktorý meria (vyhodnocuje) Q faktor(útlm vlny). Elektrický odpor na jednotku dĺžky skúšobného vodiča vo zvolenej frekvencii merania možno určiť z meraného Q faktoru(útlmu vlnou). Daná frekvencia by sa mala pohybovať v rozmedzí od 800MHz až 2GHz.

3.6.1 Výpočet Q faktora

Výpočet Q pre ideálny sériový RLC obvod

$$Q = \frac{1}{R} \sqrt{\frac{L}{C}} = \frac{\omega_0 L}{R} \quad (2.6)$$

Výpočet Q pre ideálny paralelný RLC obvod

$$Q = R \sqrt{\frac{C}{L}} = \frac{R}{\omega_0 L} \quad (2.7)$$

R - rezistencia (odpor) [Ω]

L – indukčnosť [H]

C – kapacita [F]

ω_0 - uhlová rýchlosť [r/s]

Činiteľ akosti alebo Q faktor je bezrozmerný parameter, ktorý opisuje, ako nedostatočne tlmený oscilátor alebo rezonátor je.

3.7 Ultrazvuková metóda

Využíva schopnosť ultrazvuku priamočiaro prenikať aj veľmi hrubými vrstvami materiálu a schopnosť odrážať sa na rozhraní dvoch prostredí s rozdielnou špecifickou hustotou, čo sa prejaví aj zmenou rýchlosťi šírenia pozdĺžnych (longitudinal) alebo priečnych (transverse) ultrazvukových vín.[4]

V predchádzajúcej kapitole boli predstavené metódy merania ktorá využívajú mikrovlny. V prenesenom význame môžem spraviť to isté aj s ultrazvukom (alebo aj iným signálom), dokonca aj s optickými signálmi. Daný vodič z „čistej“ medí má vodivosť γ , energia jednotlivých vín E a rýchlosť ktorou prechádza materiálom v (Príloha B – Rýchlosť ultrazvuku). Ak však bude pridaná prímes do tohto vodiča ovplyvníme tým vodivosť γ , rýchlosť v a tiež energiu vín. Na základe tejto úmery budeme môcť vyhodnocovať vodivosť daného vodiča.

Zvukové vlny sa šíria určitou rýchlosťou, podmienenou akustickými vlastnosťami média. Všeobecný vzťah pre rýchlosť vlny má tvar[4]:

$$c^2 = \frac{K}{\rho} \quad [\text{m/s}] \quad (2.8)$$

c - je rýchlosť vlny

K - je objemový modul pružnosti

ρ - je hustota média

Aby sme mohli takto určiť vodivosť vodiča potrebujeme veľmi presné zdroje signálu a samozrejme tiež prímače. Ku každému vysielaču (zdroju) budú potrebné aspoň dva prímače, aby mohli snímať odrazený signál a signál ktorý prešiel materiálom.

4. Realizácia meracej metódy

Pred samotným meraním si musíme stanoviť maximálnu odchýlku od meranej hodnoty. Pri výpočtoch uvažujeme technickú med' s merným odporem $1.75\mu\Omega/cm$. Vypočítané hodnoty porovnáme s normou EN60228 pre vybrané priemery, a dopočítame absolútну a relatívnu chybu (Tabuľka 1).

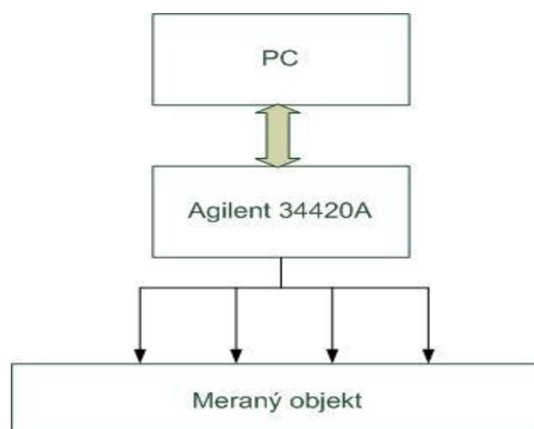
Holá med' (kruhový prierez)				
Priemer	Teoretický odpór [Ω/km]	EN60228 [Ω/km]	Δ [-]	δ [%]
0,5	35,00	36,00	1,00	2,78
1	17,50	18,10	0,60	3,31
1,5	11,67	12,10	0,43	3,58
2,5	7,00	7,41	0,41	5,53
4	4,38	4,61	0,24	5,10
6	2,92	3,08	0,16	5,30
10	1,75	1,83	0,08	4,37

Tabuľka 1 : Odchýlky odporu pre daný prierez

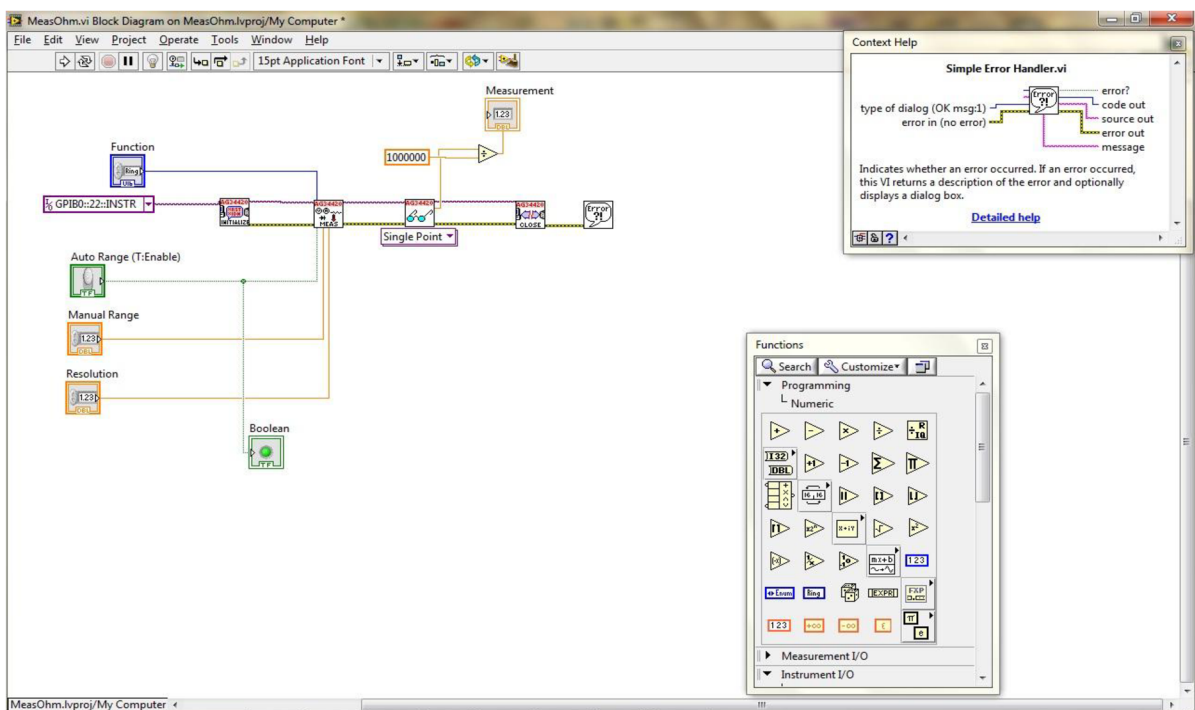
4.1 Použitie Kelvinovej metódy

Kedže štvorvodičové meranie patrí medzi najpoužívanejšie merania tak sa zamerám naň ohľadom kontaktných metód. V predchádzajúcej kapitole som vytýčil ako môžeme vytvoriť kontakt medzi meraným drôtom a meracou stanicou. Na to aby sme mohli danú metódu testovať, vytvoríme si program. Program je vytváraný v prostredí LabView 2011.

Po prepojení PC s meracou stanicou, začneme vytvárať program. Pre zber dát zo stanice používame rozhranie GPIB. Preto si najskôr vytvoríme jednoduchú aplikáciu, ktorá spustí meranie odporu a vypíše nám namerané hodnoty.



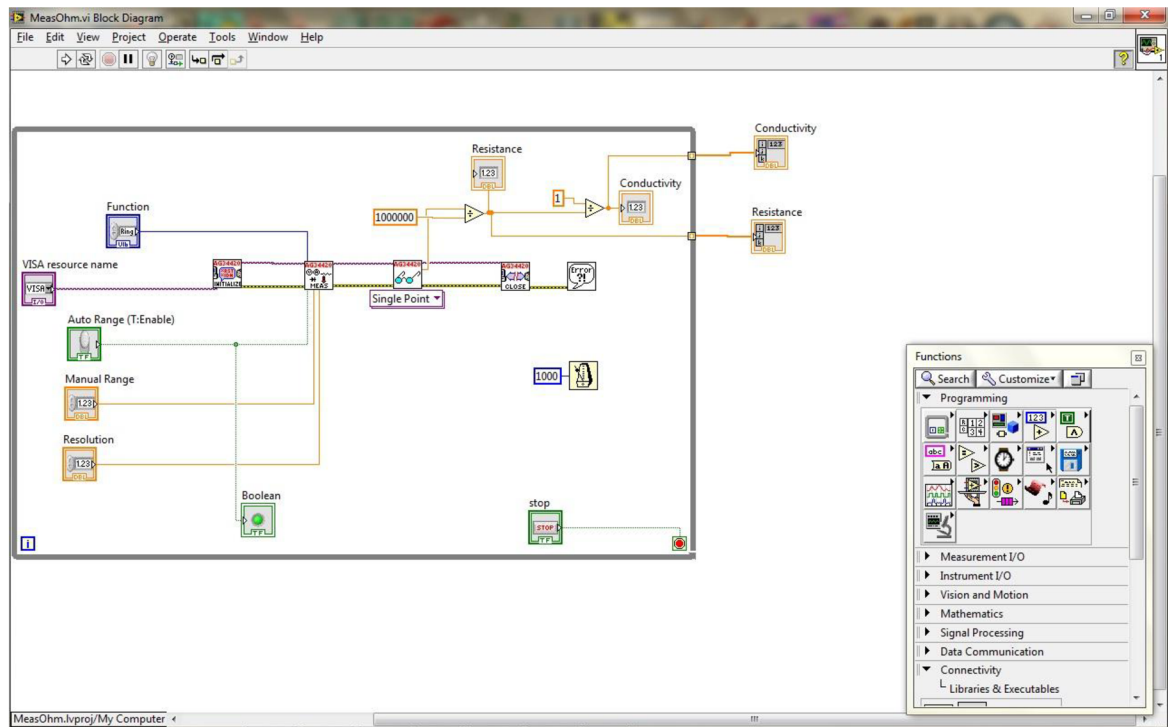
Obrázok 11: Blokový diagram



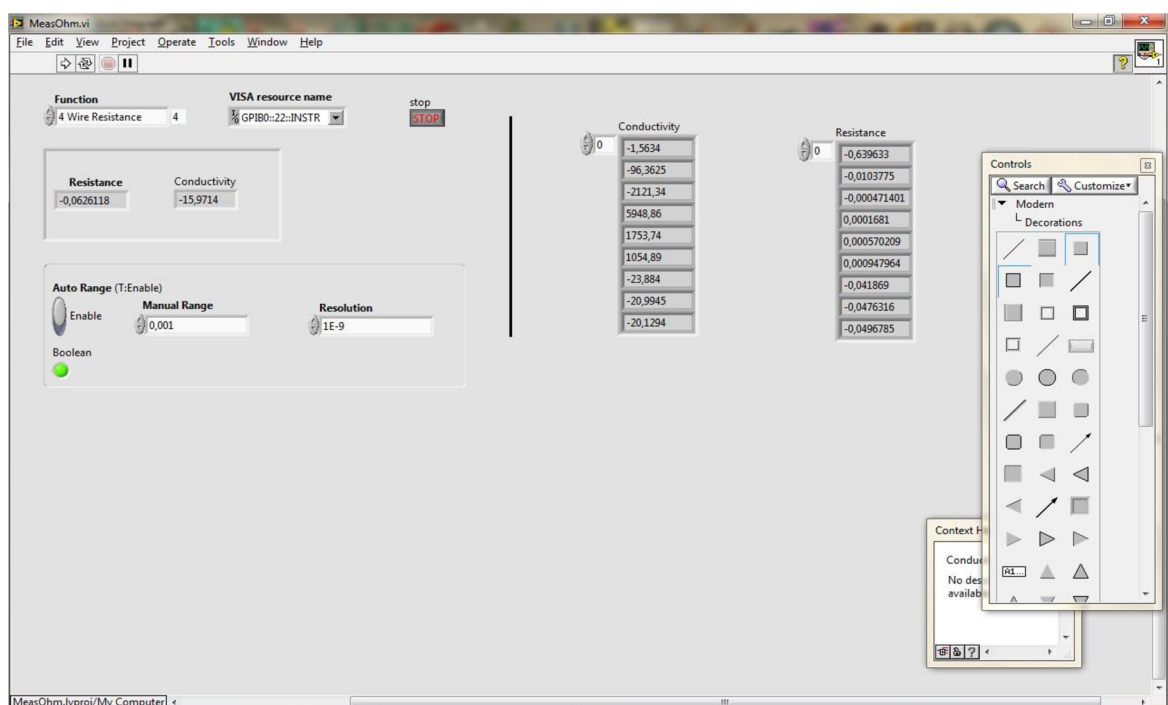
Obrázok 12: Blokový diagram aplikácie v LabView 1

Po odskúšaní program doplníme „cyklom“ , aby meranie stále prebiehalo. Vytvoríme zároveň tabuľku, kde vidíme posledné namerané hodnoty odporov (ktoré sú potom prepočítavané na vodivosť). Meranie odporu prebieha v približne sekundových intervaloch.

Vzhľadom k problematike mechanického vyhotovenia navrhnutej metódy, daný program bol otestovaný na nepohybujúcim(v zmysle kontinuálneho pohybu) sa vodiči. Avšak podľa meraní môžem usúdiť, že pri menších rýchlosťach pohybu vodiča by táto metóda fungovala. Je však potrebné kladky vyhotoviť tak aby nedochádzalo k mechanickému opotrebovaniu (poškodeniu) vodiča a zároveň dosiahli veľmi dobrý kontakt s vodičom.



Obrázok 13: Blokový diagram aplikácie v LabView 2



Obrázok 14: Panel aplikácie 1

4.2 Testovanie vírivými prúdmi

(ET – Eddy Current Testing[9]) je vhodné najmä na lokalizáciu povrchových, tesne podpovrchových a tiež plošných chýb. Ak na skúšaný, elektricky vodivý predmet pôsobíme striedavým magnetickým poľom cievky, indukuje sa v ňom striedavé napätie. Nakoľko skúmaný predmet je uzavretým vodičom, vznikajú v ňom tzv. vírivé prúdy, ktoré vytvárajú svoje vlastné magnetické pole s opačnou fázou ako pole budiace. Necelistnosti v skúšanom materiáli spôsobujú nerovnováhu oboch polí, a tým na obrazovke prístroja vytvárajú chybový signál. Amplitúda a fáza chybového poľa pritom vyjadrujú informáciu o stave skúšaného materiálu. Aplikácia metódy je vhodná iba pre elektricky vodivé materiály. Nevýhodou metódy je relatívne veľký počet premenných ovplyvňujúcich výsledný signál, čo môže spôsobiť falosoňné indikácie.

Faktory ktoré ovplyvňujú vírivé prúdy :

- konduktivita s
- permeabilita μ
- frekvencia f
- blízkosť (Lift off/fill factor)
- geometria
- umiestnenie sondy
- prerušenia (defekty)

Frekvencia je jedna z mála premenných ktoré môžeme ovplyvňovať. Pomocou frekvencie riadime hĺbku prieniku(vníku) , hustotu a fázu indukovaných vírivých prúdov. Vo všeobecnosti sú vyššie kmitočty používané na detekciu povrchu, a nižšie frekvencie pre pod povrchové testovanie.

Pre náš merací systém (zariadenie) bude uvažovať tieto dané veličiny ako konštanty :

- permeabilita
- geometria - kruhový vodič bude mať stále rovnaký prierez
- umiestnenie sondy

Absolútne a diferenčné meranie

Najzákladnejším rozdielom medzi sondami môžu byť princíp práce.

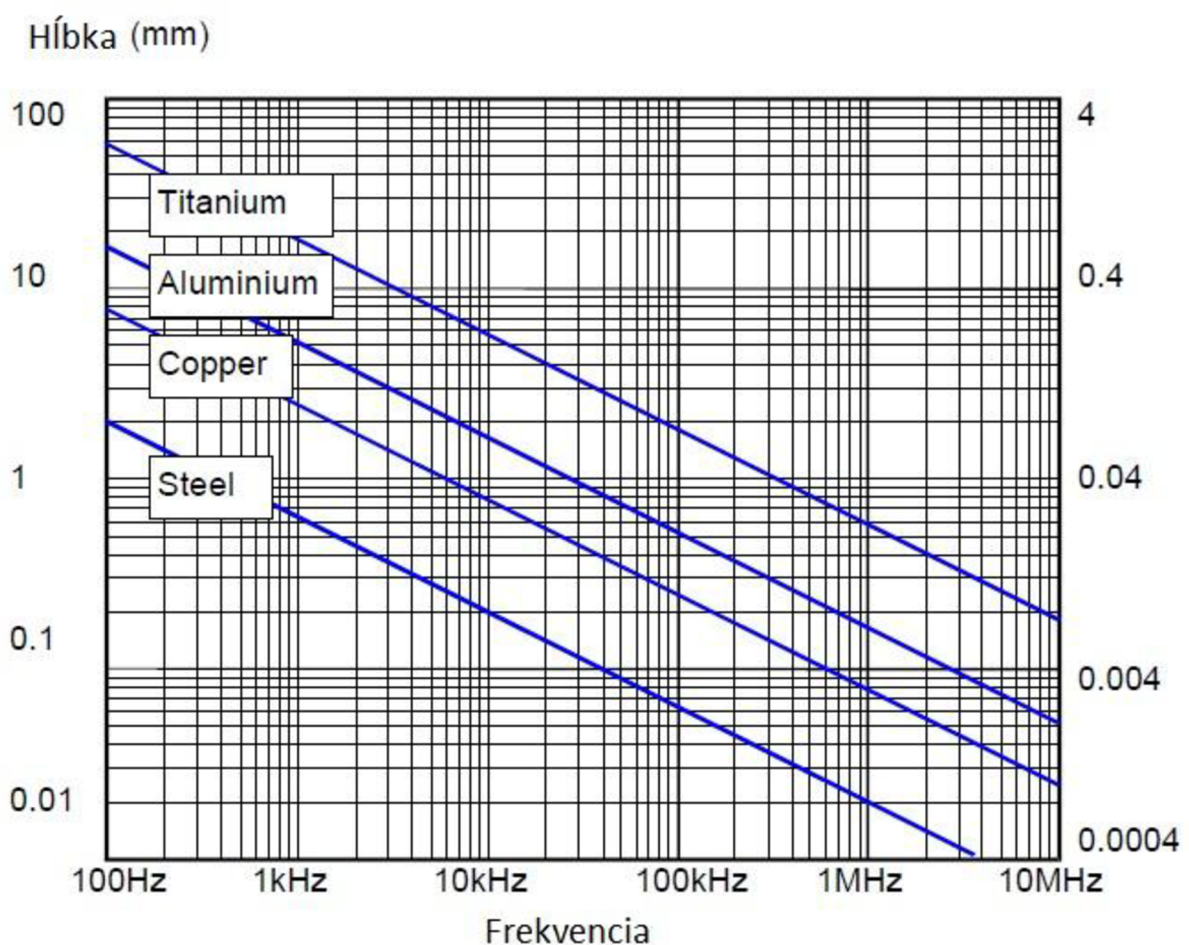
- a) Absolútne vírivé sondy.
- b) Diferenciálne vírivé sondy.

Hĺbka prieniku

Hustota výrievých prúdov, a spätná odpoveď na defekt, je najväčšia na povrchu kovu a s hĺbkou klesá. Matematicky to môžeme definovať ako "štandardná hĺbka prieniku"[8], kde prúd je $1 / e$ (37%), z jeho povrchu hodnoty. Štandardná hĺbka prieniku je daná :

$$\delta = 50 \sqrt{\frac{\rho}{f \mu_r}} \quad (2.9)$$

Hlavnou veličinou, ktorá nám ovplyvňuje hĺbku prieniku je frekvencia (f). Závislosť hĺbky prieniku pre rôzne materiály od frekvencie je znázornená na obrázku.



Obrázok 15: Závislosť hĺbky vniku od frekvencie [8]

4.2.1 Výpočet cievok

Aby sme mohli použiť metódu testovanie vírivými prúdmi musíme si najprv vypočítať parametre pre naše cievky. Vzhľadom k tomu, že vodič sa nám bude pohybovať volíme možnosť s prechádzajúcimi cievkami. Indukované napätie U_i budeme chcieť na výstupe dosiahnuť 100mV.

Vychádzame zo vzťahu :

$$U_i = 4,44\phi fN \quad [11] \quad (3.0)$$

U_i – indukované napätie na cievke

N – počet závitov cievky

ϕ – indukčný tok

f – frekvencia

$$NI = Hl \quad (3.1)$$

Magnetický tok [11] :

$$\phi = BS \quad [\text{wb}] \quad (3.2)$$

Magnetická indukcia [11] :

$$B = \mu_0 \mu_r H \quad [\text{T}] \quad (3.3)$$

μ_r – relatívna permeabilita (=1)

μ_0 – permeabilita vakuu ($4\pi 10^{-7}$)

H – intenzita magnetického cievky

Indukčnosť cievky(solenoid) [11] :

$$L = \frac{N\phi}{I} = \frac{N\mu HS}{I} \quad [\text{H}] \quad (3.4)$$

$$L = \frac{N^2 \mu_0 I S}{l I} \quad [H] \quad (3.5)$$

L – indukčnosť cievky

I – prúd pretekajúci cievkou

N – počet závitov cievky

S – prierez cievky

Vyjadríme si H

$$H = \frac{U_i}{4,44\mu_0 f N S} = \frac{0,1}{4,44\mu_0 \frac{\pi 1,5 \cdot 10^{-3}}{4} 10^3 \cdot 10 \cdot 1000} \quad (3.6)$$

$$H = 2282 \text{ A/m}$$

Vypočítame počet závitov pre sekundárne vinutie (pre primárne vedenie sme si zvolili 1000 závitov) :

$$N_2 = \frac{H l}{I} = \frac{22828 \cdot 0,2}{1} = 460 \text{ závitov} \quad (3.7)$$

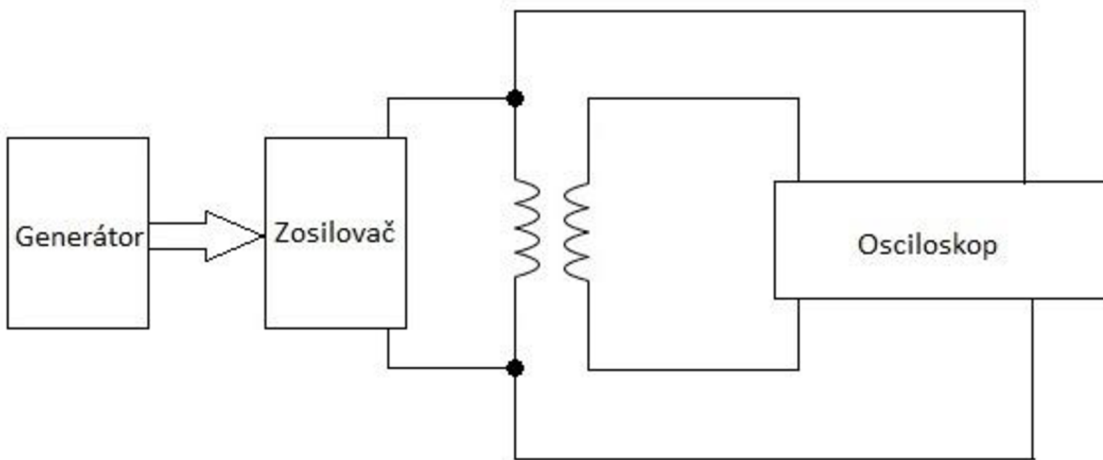
Hodnoty :

$N_1=1000$ závitov $D_1=0,1\text{mm}$

$N_2=460$ závitov $D_2=0,3\text{mm}$

4.2.1 Meranie

Najprv si navinieme cievky a zmeriame ich odpor. Primárne vinutie má $460\text{k}\Omega$ a sekundárne vinutie $360\text{k }\Omega$. Pri vstupnom sínusovom signále 10V s frekvenciou 10kHz sa nám na výstupe sekundárnej cievky objaví 68mV s rovnakou frekvenciou. Z toho nám vyplýva, že na budenie primárnej cievky budeme potrebovať zosilňovač.



Obrázok 16: Blokový diagram merania

Vzhľadom k tomu, že naša trubička má 300mm spôsobuje jej nerovnosť. Aby sme sa zbavili problémov s vonkajším rušením a nepriaznivým natáčaním tak namotanú cievku vložíme do väčej drevenej trubičky, kde zabezpečíme vyrovnanosť. Aby sme zabránili prenikaniu rušenia z generátora, je vhodné použiť pásmovú zádrž alebo pripust.



Obrázok 17: Meracia cievka 1



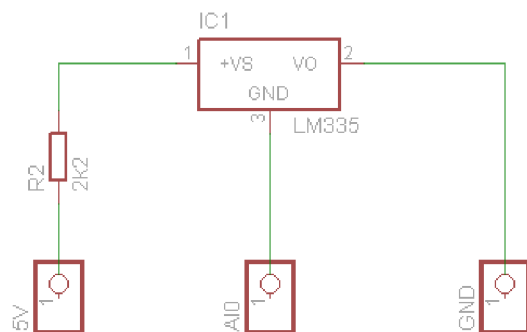
Obrázok 18: Meracia cievka 2

Ked' už máme cievku hotovú zvolíme si vstupný budiaci signál do primárnej cievky. Signál bude harmonický. Veľkosť a frekvenciu volíme tak aby sme vybudili dostatočné veľké pole a aby vírivé prúdi prenikli celým vodičom (viď. 4.2 Testovanie vírivými prúdmi). Signály z primárnej a sekundárnej cievky vzájomne porovnáme. Na základe rozdielu amplitúdy a fáze medzi jednotlivými signálmi môžeme vyhodnocovať odpor vodiča.

Pri automatizovanom meraní by sme pre krajné hodnoty odporu daného prierezu (Tabuľka 1) stanovili hodnoty amplitúdy a fáze. Na základe týchto hodnôt by sme mohli veľmi efektívne zistiť či vodič spĺňa dané požiadavky. Zabezpečili by sme tým dostatočnú veľkú rýchlosť merania a vyhodnocovania. Zároveň to kladie väčšie nároky na výpočtovú a hardvérovú techniku.

4.3 Vplyv teploty

Ako už bolo v teoretickej časti spomenuté, tak teplota nám tiež ovplyvňuje hodnotu odporu medeného drôtu.(vzťah 1.3) Teplotný súčinieľ elektrického odporu medi je $\alpha = 0.0068 \text{ K}^{-1}$. Ak budeme používať uzavretú konštrukciu pre naše meranie tak môžeme použiť jeden zo základných snímačov na meranie teploty, napríklad LM335 alebo nejaký termočlánok s vhodnou charakteristikou. Prevodová charakteristika LM335 je 10mV na $1\text{K}(1^\circ\text{C})$. Keďže používame meraciu kartu NI USB 6008, ktoré má maximálne rozlíšenie 12bit, tak prevodová konštantá je vhodná. Vzhľadom k tomu, že vodič nie je extrémne zahrievaný a v podstate jeho teplota je hlavne závislá na teplote prostredia je táto možnosť(metóda) postačujúca. Ak by sme však chceli merať teplotu konkrétnie len vodiča a precízne, musíme použiť infračervený snímač teploty.



Obrázok 19: Zapojenie LM335

Napájanie snímača môžeme priamo odoberať z meracej karty. AI0 je analógový vstup na NI USB 6008 (Príloha D – NI USB 6008). Ak uvážime prevodnú konštantu snímača (10mV/K), tak s použitím rozlíšenia 11b (9.7mV) získame presnosť 1K . AK by sme chceli dosiahnuť väčšieho rozlíšenie musíme použiť diferenciálne analógové vstupy(12b – 5mV). Väčšie rozlíšenie môžeme tiež zaistiť zmenou rozsahu A/D prevodníka. Nemá však význam merať teplotu s vysokou presnosťou, keď metóda má ďaleko väčšiu chybu (nepresnosť merania).

5. Záver

V danej práci boli prebrané jednotlivé možnosti merania vodivosti vyrábaného vodiča. Pri návrhu metód sa vychádza zo základných fyzikálnych princípov. Zamerali sme sa na metódy kontaktné a aj bezkontaktné. Ďalej by sme metódy mohli rozdeliť podľa ich použiteľnosti, rýchlosťi a presnosti.

Pre požadované meranie vodivosti môžeme využiť metódy, ktoré boli popísané v danej práci. Po principálnej stránke by sme ich mohli rozdeliť na metódy kontaktné (Kelvinova metóda, synchrónna detekcia), ktoré sa bežne používajú. Ďalej by to boli metódy ktoré využívajú elektromagnetizmus a základné fyzikálne vlastnosti signálov. Výber konkrétnej metódy závisí od rôznych aspektov.

Kelvinova metóda (štvorvodičová) a synchrónna detekcia sú kontaktné metódy, čo spôsobuje, že mechanické prevedenie týchto metód je zložité. Pri experimente využívame aplikáciu vytvorenú v LabView 2011. Daný experiment je robený za pomocí kladiek a pomalého posúvania vodiča. Počas merania nastávali problémy s dostatočne dobrým kontaktom, ktorý spôsoboval veľmi rôznorodé hodnoty. Preto sa musí zabezpečiť dobrý kontakt s vodičom a zároveň musíme dbať na to aby sa vodič mechanicky nepoškodil. Na druhej strane pri štvorvodičovej metóde hodnotu odporu získavame priamo z meracej stanice. Pri synchrónnej detekcii sa musí vykonávať moduláciu a demoduláciu, ktorá merací proces bude spomaľovať.

Ďalšie metódy využívajú pri meraní vírivé prúdy. Konkrétnie sa jedná o Heydweillerov most a testovanie vírivými prúdmi. Jednou z najpoužívanejších metód je testovanie vírivými prúdmi. Pomocou tejto metódy môžeme zabezpečiť rýchle meranie a dostatočnú presnosť. Používajú sa dva spôsoby merania. Prvý je s príložnou cievkou, druhý s prechádzajúcou cievkou. Vzhľadom k možnému „kmitaniu“ vodiča sme pre meranie použili druhú metódu, kde pomocou dvoch cievok je tento pohyb eliminovaný a nemá tak veľký vplyv na meranie. Zmenu vodivosti vodiča vyhodnocujeme na základe zmene amplitúdy a fáze. Bežný generátor nedokáže vybudíť dostatočne primárnu cievku, preto musíme použiť zosilňovač. Nepríjemný faktom je, že do merania preniká veľmi veľké rušenie o frekvencii 50Hz. Preto by bolo vhodné pri danej metóde použiť pásmovú zádrž. Z toho nám vyplýva, že daná metóda je náročná po finančnej stránke. K danému meraniu je zapotreba generátor, zosilňovač, pásmová prepust' a meracia karta (alebo osciloskop). Potrebný je aj vhodný program, ktorý by porovnával amplitúdy a fáze signálov, a priamo by nás upozorňoval na prekročenie stanovených hodnôt.

Heydweillerov most využíva tiež vírivých prúdov, avšak praxi sa takmer vôbec nevyužíva. Jeho uplatnenie sa skôr nachádza v špecializovaných laboratóriách(National Physics Laboratory Teddington, UK).

Posledné dve metódy ktoré sú v práci rozoberané využívajú vlastnosti vln (signálov). Na základe ako sa vyslaná vlna vráti, alebo ako rýchlosťou prejde materiálom, vyhodnocujeme odpor daného vodiča. Na to aby sme takto mohli merať odpor vodiča potrebujeme veľmi presné zdroje(vysielače) a prímače. Tieto metódy sú zložité ako po konštrukčnej stránke, tak aj vyhodnocovacej.

Príloha A – Agilent 34420A

Specifications
34420A Nano Volt/Micro Ohm Meter

ACCURACY SPECIFICATIONS \pm (% of reading + % of range) [1]

Function	Range [2]	Test Current	24 Hour $23^\circ\text{C} \pm 1^\circ\text{C}$	90 Day $23^\circ\text{C} \pm 5^\circ\text{C}$	1 Year $23^\circ\text{C} \pm 5^\circ\text{C}$	Temperature Coefficient $0^\circ\text{C} - 18^\circ\text{C}$ $28^\circ\text{C} - 55^\circ\text{C}$	Maximum Per Lead Resistance
DC Voltage	1,000,000 mV [3]		0.0025 \pm .0020	0.0040 \pm .0020	0.0050 \pm .0020	0.0004 \pm .0001	
	10,000,000 mV [3]		0.0025 \pm .0002	0.0040 \pm .0002	0.0050 \pm .0003	0.0004 \pm .00002	
	100,000,000 mV [3]		0.0015 \pm .0003	0.0030 \pm .0004	0.0040 \pm .0004	0.0004 \pm .00006	
	1,000,000 V		0.0010 \pm .0003	0.0025 \pm .0004	0.0035 \pm .0004	0.0004 \pm .00004	
	10,000,000 V		0.0010 \pm .0004	0.0025 \pm .0005	0.0035 \pm .0005	0.0004 \pm .00006	
	100,000,000 V [4]						
Resistance [5]	1,000,000 Ω	10 mA	0.0015 \pm .0002	0.0050 \pm .0002	0.0070 \pm .0002	0.0005 \pm .00002	1 Ω
	10,000,000 Ω	10 mA	0.0015 \pm .0002	0.0040 \pm .0002	0.0060 \pm .0002	0.0005 \pm .00001	1 Ω
	100,000,000 Ω	10 mA	0.0015 \pm .0002	0.0040 \pm .0002	0.0060 \pm .0002	0.0005 \pm .00001	10 Ω
	1,000,000 K Ω	1 mA	0.0015 \pm .0002	0.0040 \pm .0002	0.0060 \pm .0002	0.0005 \pm .00001	100 Ω
	10,000,000 K Ω	100 μA	0.0015 \pm .0002	0.0040 \pm .0002	0.0060 \pm .0002	0.0005 \pm .00001	1 K Ω
	100,000,000 K Ω	10 μA	0.0015 \pm .0003	0.0040 \pm .0004	0.0060 \pm .0004	0.0005 \pm .00002	1 K Ω
	1,000,000 M Ω	5 μA	0.0020 \pm .0003	0.0050 \pm .0004	0.0070 \pm .0004	0.0006 \pm .00003	1 K Ω
Low Power Resistance [5]	1,000,000 Ω	10 mA	0.0015 \pm .0002	0.0050 \pm .0002	0.0070 \pm .0002	0.0005 \pm .00002	1 Ω
	10,000,000 Ω	10 mA	0.0015 \pm .0002	0.0040 \pm .0002	0.0060 \pm .0002	0.0005 \pm .00001	1 Ω
	100,000,000 Ω	1 mA	0.0015 \pm .0002	0.0040 \pm .0002	0.0060 \pm .0002	0.0005 \pm .00001	10 Ω
	1,000,000 K Ω	100 μA	0.0015 \pm .0002	0.0040 \pm .0002	0.0060 \pm .0002	0.0005 \pm .00001	100 Ω
	10,000,000 K Ω	10 μA	0.0015 \pm .0004	0.0040 \pm .0004	0.0060 \pm .0004	0.0005 \pm .00003	1 K Ω
	100,000,000 K Ω	5 μA	0.0015 \pm .0012	0.0040 \pm .0015	0.0060 \pm .0015	0.0005 \pm .00003	1 K Ω
	1,000,000 M Ω	5 μA	0.0020 \pm .0003	0.0050 \pm .0004	0.0070 \pm .0004	0.0006 \pm .00003	1 K Ω
Voltage Limited Resistance [5][6]	10,000,000 Ω	1 mA	0.0020 \pm .0002	0.0050 \pm .0002	0.0070 \pm .0002	0.0005 \pm .00002	1 Ω
	100,000,000 Ω	100 μA	0.0025 \pm .0002	0.0050 \pm .0002	0.0070 \pm .0002	0.0005 \pm .00002	5 Ω
Channel 1 / Channel 2 (DCV Ratio)		Ratio Error % = Channel 1 accuracy in % + Channel 2 accuracy in %					
Channel 1 - Channel 2 (DCV Difference)		Difference Error = Channel 1 (% of reading + % of range) + Channel 2 (% of reading + % of range)					
Temperature [7] (resolution = 0.001° C)		Thermocouple probe accuracy \pm 0.2° C					
Thermistor RTD		Thermistor probe accuracy \pm 0.1° C					
		RTD probe accuracy \pm 0.05° C					

[1] Specifications are for Channel 1 or Channel 2, after 2-hour warm-up, resolution at 7.5 digits (100 NPLC), with FILTERS off.
RESISTANCE specifications are for 4-wire ohms or 2-wire ohms using Null. Without Null, add 0.2 Ω additional error in 2-wire ohms function. With Analog Filter ON, add 0.002% of reading to listed specifications.

[2] 20% overrange on all ranges except 5% on Voltage Limited Resistance.

[3] After using Null. If Null is not used add 100 nanovolts.

[4] Channel 1 only.

[5] Channel 1 only. Resistance measurements, for NPLC <1, add 160 μA RMS noise.

[6] Voltage limit can be set to 20 mV (default), 100 mV, or 500 mV. Measured resistance plus Channel 1 HI and LO lead resistance is limited to 10.5 Ω on the 10 Ω range and 105 Ω on the 100 Ω range.

[7] For fixed reference junction, Add 0.3° C for external reference junction, add 2° C for internal reference junction.

Zdroj: datasheet Agilent 34420A

Príloha B – Rýchlosť ultrazvuku

Pevné látky	Látka	Teplota [°C]	Rýchlosť [m/s]
	Olovo	-	1960
	Med'	-	5010
	Sklo	-	5640
	Oceľ	-	5960
Plyny			
	Oxid Uhličitý	0	259
	Kyslík	0	613
	Vzduch	0	331
	Vzduch	20	343
	Hélium	0	965

Tabuľka 2 (rýchlosť ultrazvuku v rôznych médiách)

materiál	c_L [m/s]	c_T [m/s]	c_R [m/s]
oceľ	5950	3250	3010
hliník	6320	3130	2870
med'	4700	2260	2110
motorový olej	1920		
voda	1843		

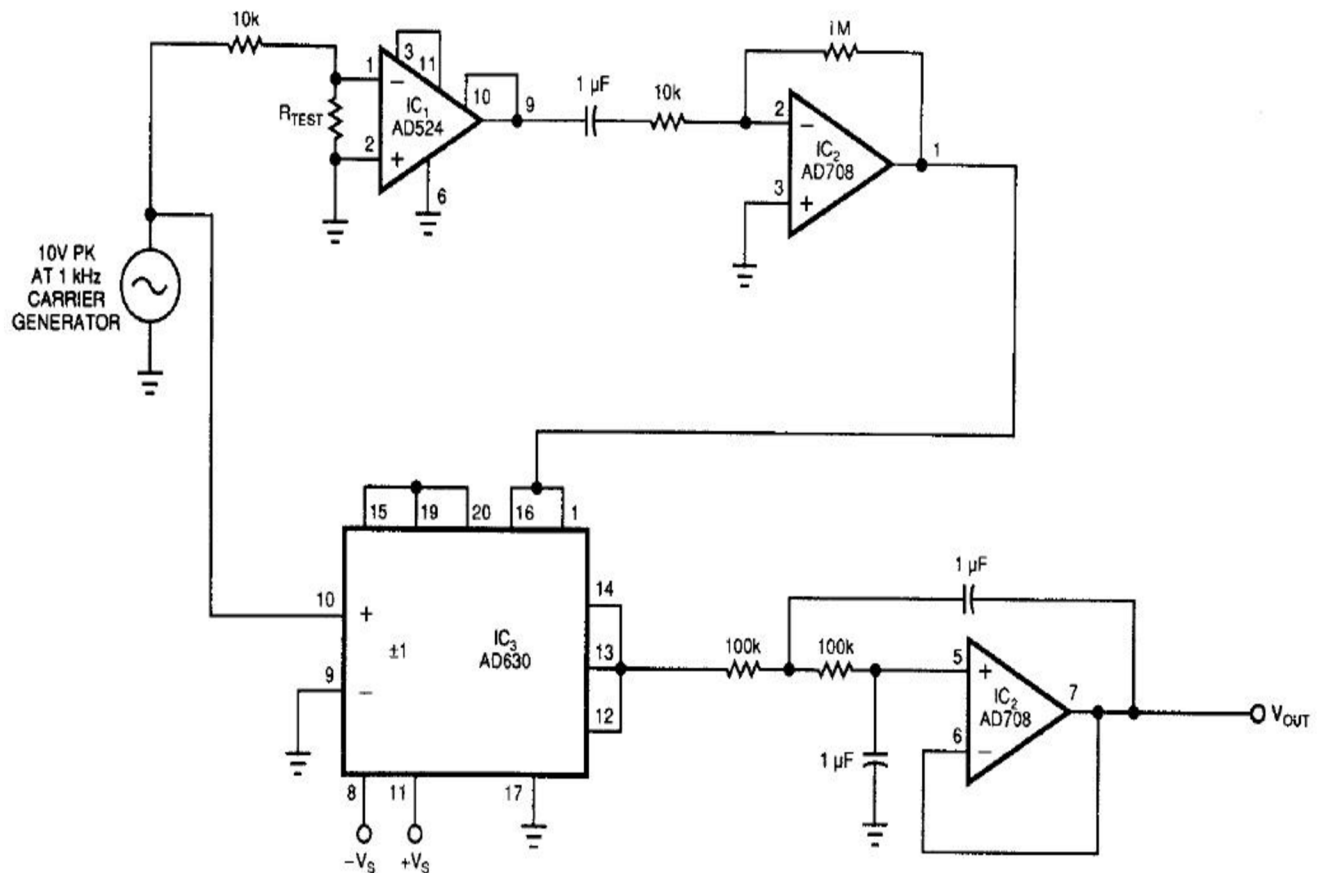
Tabuľka 3 (rýchlosť rôznych vín ultrazvuku)

c_L – pozdĺžne vlny (longitudinálne)

c_T – priečne vlny (transverzálné)

c_R – povrchové vlny (Rayleighove)

Príloha C – Zapojenie s AD630



Zapojenie s AD630

Zdroj: datasheet AD630, Analog Devices

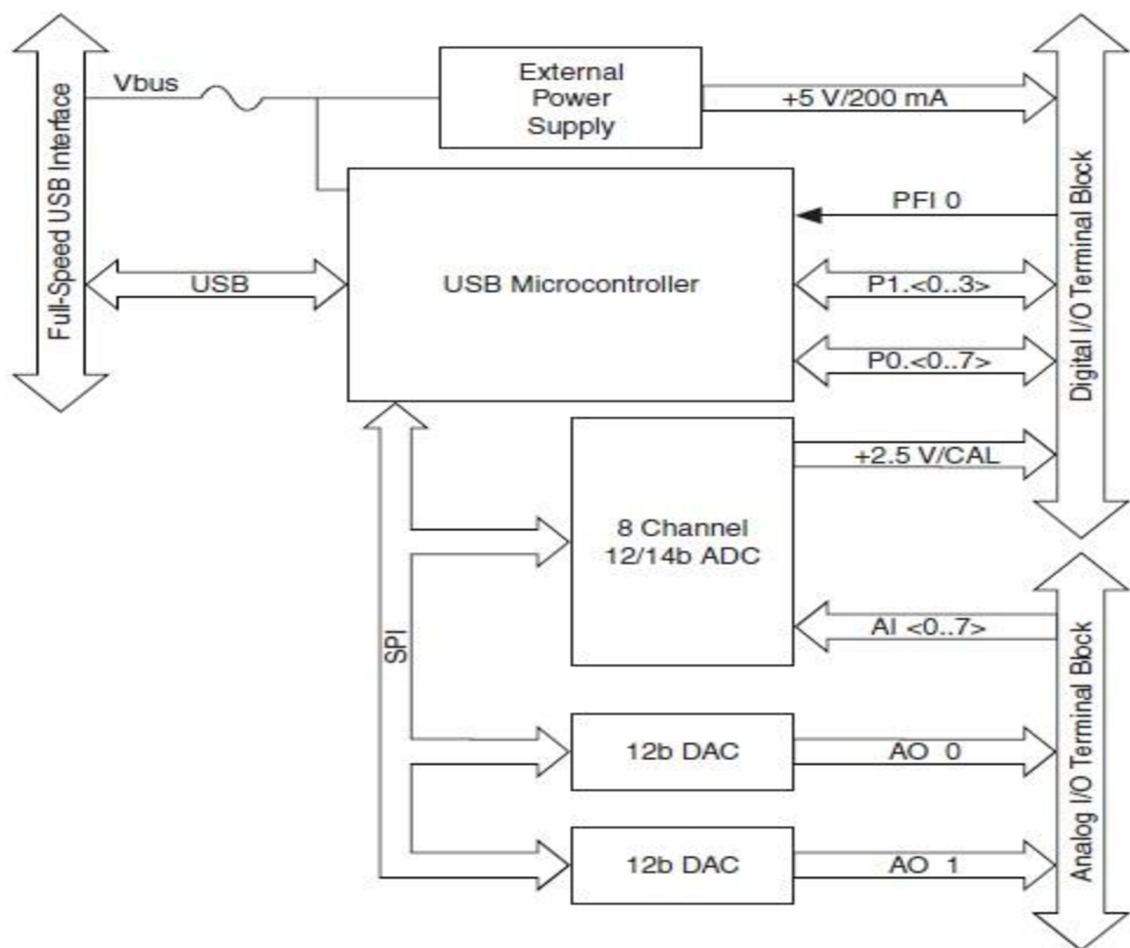
Príloha D – NI USB 6008

Rozlíšenie : 12 bitov diferenciálne

11 bitov oddelene (single-ended)

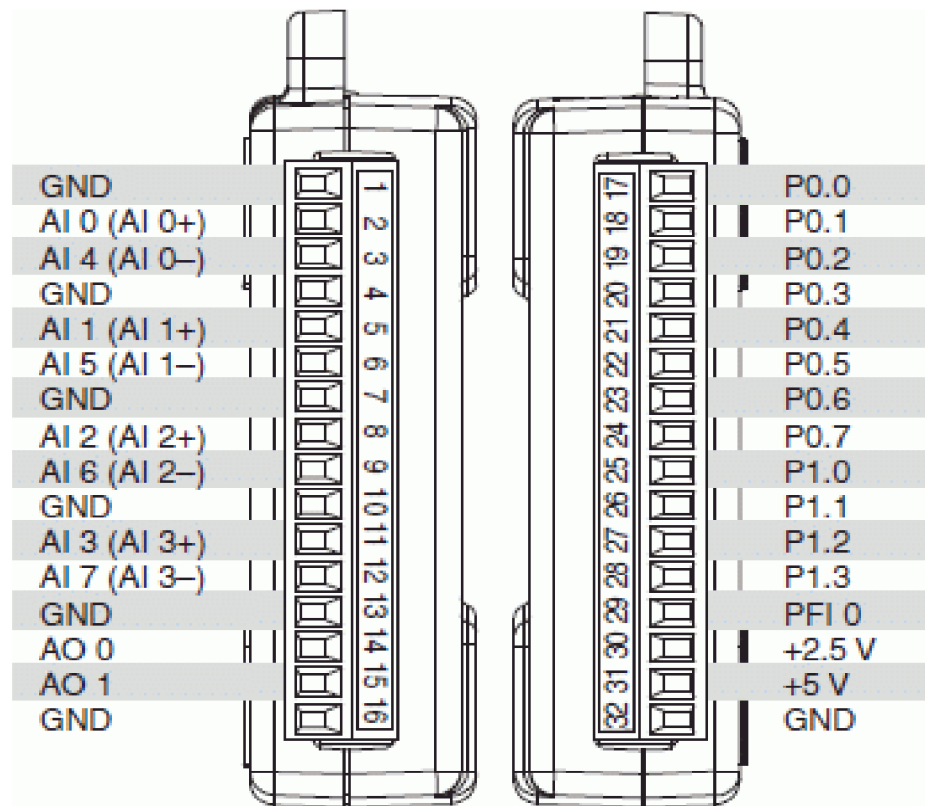
Maximálna počet vzoriek (pre jeden kanál):10kS/s

Maximálna počet vzoriek (pre viac kanálov):10kS/s



USB 6008 (Blokové zapojenie)

Popis pinov



USB 6008 (Popis pinov)

GND – zem

AI0..7 – analógový vstup

AO – analógový výstup

P – digitálne v/v

Zdroj: datasheet NI USB6008(6009)

Použitá literatúra

- [1] Senzory v průmyslové praxi, Radislav Martinek : BEN - technická literatura, 2004. 199 s. ISBN 9788073001148.
- [2] Elektronika, M.Frohn a kol. : BEN - technická literatura, 2006. 479 s. ISBN 8073001233.
- [3] Elektrické merania I, V.Antošovský :Alfa, 1989. 456 s. ISBN 8005001754.
- [4] Technická diagnostika, Marcel Kreidl a Radislav Šmíd: BEN - technická literatura,2006.408s. ISBN 8073001586.
- [5] Springer Handbook of Materials Measurement Methods, Horst Czichos, Tetsuya Saito, Leslie Smith:Springer,2006.1234s. ISBN 3540207856.
- [6] Počítačové modelování elektrotechnických zařízení a komponentů, Doc. Ing. Pavel Fiala, Ph.D.,Ing. Tibor Bachorec, Ph.D., Ing. Tomáš Kříž,2012.100s. ISBN 9788021444027.
- [7] LabVIEW Graphical Programming Gary Johnson, Richard Jennings,2006.752s. ISBN 9780071451468.
- [8] NDT Handbook 2nd Edition Volume 4 b, Electromagnetic Testing, Ed. Paul McIntyre/Mike Mester, ASNT, 1986.ISBN 0-931403-01-04
- [9] Nondestructive testing handbook, Robert C. McMaster, the Ronald Press Company, 1959.1093s. ISBN 978-0318215020
- [10] Espacenet : PROCESS FOR CONTACTLESS MEASUREMENT OF THE ELECTRICAL RESISTANCE OF A TEST MATERIAL . In: *Worldwide Database*. [online]. Marec 2013 [cit. 2013-12-05]. Dostupné na internete:
<http://worldwide.espacenet.com/publicationDetails/biblio?CC=US&NR=5210500A&K=C=A&FT=D&ND=3&date=19930511&DB=worldwide.espacenet.com&locale=en_EP>
- [11] Metody řešení elektrických a magnetických polí, Prof.Ing.Daniel Mayer, DrSc., RNDr.Josef Polák,CSc.,SNTL/Alfa,1983.456s.